

EEG vertė, diferencijuojant glalinį naviką ir encefalitą: klinikinio atvejo pristatymas ir literatūros apžvalga

M. Jokubaitis***R. Mameniškienė******A. Barkauskiene*******J. Valaičienė*****Vilniaus universitetas,
Medicinos fakultetas**Vilniaus universitetas,
Neurologijos centras***Vilniaus universiteto ligoninė
Santaros klinikos, Radiologijos
ir branduolinės medicinos centras

Santrauka. Straipsnyje pristatomas klinikinis atvejis, kai iki tol sveikam 24 metų vyrui ūmus encefalitas, pasireiškės epilepsijos priepuoliu, imitavo galvos smegenų naviką. Remiantis radiniais galvos smegenų magnetinio rezonanso tomografijoje, buvo įtartas smegenų glalinis navikas. Elektroencefalografijos (EEG) tyrimas su papildomais testais parodė funkcinio pobūdžio bioelektrinio aktyvumo sutrikimą, todėl buvo atliki papildomi tyrimai, leidę diagnozuoti galvos smegenų uždegimą. Minimu atveju, esant histologiskai nepatvirtintai galvos smegenų naviko diagnozei, EEG tapo svarbiausiu įrankiu, leidusiu įtarti atipinį encefalitą. Straipsnyje taip pat apžvelgiami panašūs literatūroje aprašyti atvejai ir infekcinės bei autoimininės kilmės encefalitams būdingi EEG pokyčiai.

Raktažodžiai: elektroencefalografija, EEG, neuroinfekcija, encefalitas, glioma, kanabinoидai.

ĮVADAS

Epilepsijos priepuoliais prasideda daugelio galvos smegenų navikų klinika [1]. Bent vieną epilepsijos priepuolių patiria didelė dalis galvos smegenų navikais sergančių pacientų, o jų pasireiškimo dažnis (1 lentelė) įvairuoja priklausomai nuo naviko tipo: priepuolius patiria 20–35 % sergančiųjų metastaziniai smegenų navikais, 20–50 % – menigioma, 40–45 % – multiformine glioblastoma, 60–75 % ar net daugiau – žemo laipsnio (*low-grade*) astrocytoma ir oligodendroglioma [2]. Dažniausiai nėra sunku diagnozuoti smegenų naviką, remiantis klinikine ligos išraiška ir radiniais galvos smegenų magnetinio rezonanso tomografijos (MRT) ir 18-fluorodeoksigliukozės pozitroninė emisijos tomografijos (18F-FDG-PET) tyrimuose. Ligos pradžioje gali būti sunku atskirti navikus nuo encefalito.

Adresas:

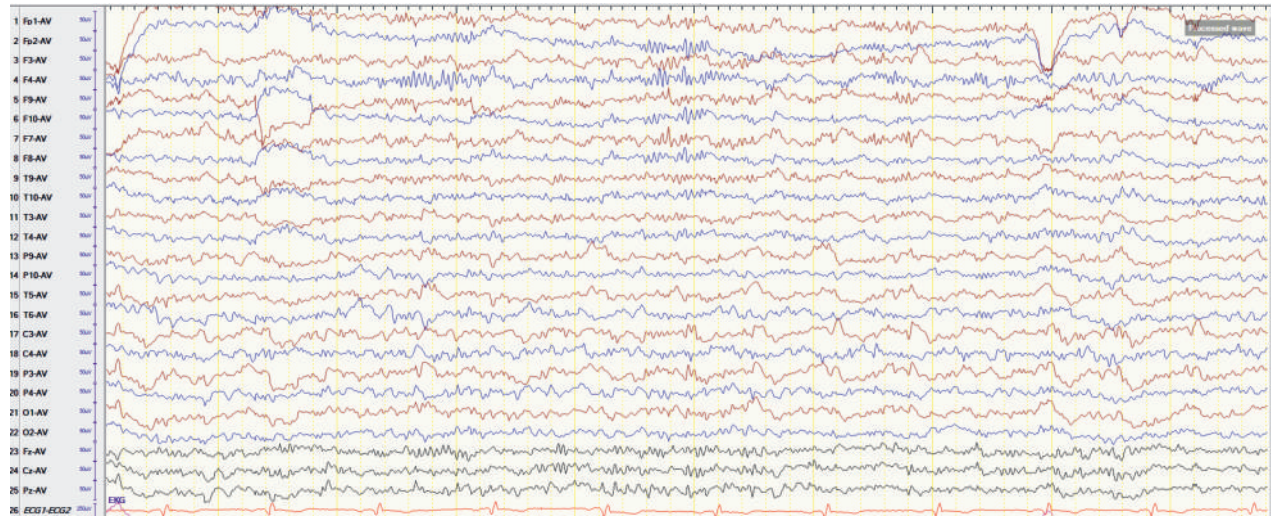
Mantas Jokubaitis
Vilniaus universiteto Medicinos fakultetas
M. K. Čiurlionio g. 21, LT-03101 Vilnius
El. paštas mantas.jokubaitis1@gmail.com

tų. Traukulių priepuolius ankstyvoje ligos stadijoje patiria apie 32–44 % pacientų, sergančių virusine [3, 4], ir 23–26 %, sergančių bakterine centrinės nervų sistemos

1 lentelė. **Epilepsijos priepuolių dažnumo sąsaja su galvos smegenų naviko tipu**

Naviko tipas	Priepuolių pasireiškimo dažnumas	Naviko lokalizacija
Glioneuroniniai navikai (angl. <i>glio-neuronal tumors</i>)	70–80 %	Frontotemporaliniai, salos (<i>insula</i>) navikai
Žemo laipsnio gliomas (angl. <i>low-grade gliomas</i>)	60–75 %	Frontotemporaliniai, salos (<i>insula</i>), paviršiniai navikai
Aukšto laipsnio gliomas (angl. <i>high-grade gliomas</i>)	25–60 %	PSO* III laipsnio, temporalinės skilties, paviršiniai navikai
Meningiomas	20–50 %	Edema aplink naviką
Metastaziniai navikai	20–35 %	Melanoma, plaučių vėžys

*Pasaulio sveikatos organizacijos (PSO) CNS navikų klasifikacija



1 pav. Elektroencefalograma. „Smailokos“ teta bangos kairėje centroparietotemporalinėje srityje (C3, P3)

(CNS) infekcija [5, 6]. Šis dažnis, galimai dėl *Herpes simplex-1* viruso (HSV-1) paveikiamos epileptogeninės smilkinio srities, yra didesnis: ūmius simptominius traukulius patiria 40–56 % HSV encefalitu sergančių asmenų, dažniau – vaikai [7, 8].

Pristatome klinikinį atvejį, kai jaunam pacientui buvo įtartas galvos smegenų navikas, tačiau pakitimai elektroencefalogramoje (EEG) padėjo diagnozuoti encefalitą.

ATVEJO APRAŠYMAS

Iki tol nesirgusiam, vaistų nevartojančiam 24 metų jaunuoliui darbe staiga nevalingai pradėjo drebėti dešinioji ranka ir sutriko sąmonė. Bendradarbiai vyra rado nukritusį, trūkčiojantį. Traukuliai tėsesi apie 3 minutes, po jų buvo dezorientuotas. Epizodo metu prikando liežuvį ir pasituštino. Greitosios medicinos pagalbos (GMP) nuvežtas į skubios pagalbos skyrių, iš kurio, po neurologo apžiūros, buvo išleistas į namus.

Praėjus trims valandoms, dar du kartus pasikartojo keilių minučių trukmės toninių-kloninių traukulų prieplauliai, po kurių pacientas hospitalizuotas į Neurologijos skyrių skubos tvarka.

Skyriuje ligonis buvo kontaktiškas, sąmoningas ir višiskai orientuotas. Neurologinio ištyrimo metu patologinių pokyčių nestebėta, tačiau rastas saikingai padidėjęs arterinis krauso spaudimas (147/86 mmHg). Pacientas nekarščiavo (temperatūra – 36,8 °C), širdies veikla buvo ritmiška, širdies susitraukimų dažnis – 78 kartai per minutę.

Tiksliančiame anamnezėje, paaiškėjo, kad ligonis prieš 10 dienų buvo peršalęs ir tris dienas karščiavo iki 38 °C, tačiau į gydytojus nesikreipė. Tuo metu šeimoje sirgo dar du nariai. Apie 10 metų pastoviai vartojo kanapės.

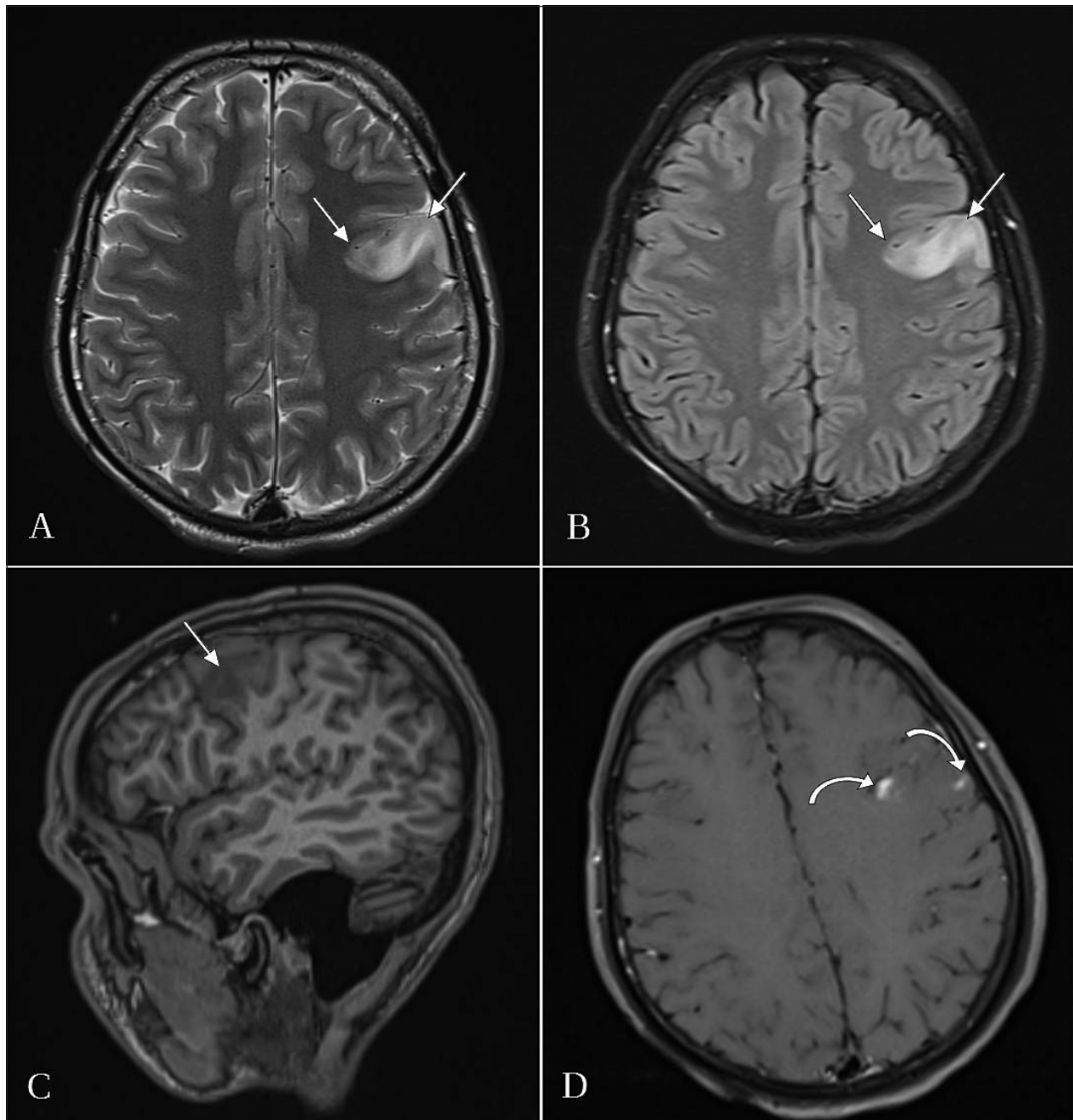
Atliktuose tyrimuose (automatizuotame krauso, elektrolitų, kreatinino, šlapalo, C reaktyvaus balymo (CRB), kepenų fermentų, galvos smegenų kompiuterinės tomografijos (GSKT) ir ekstrakranijinių kraujagyslių sonografij-

jos) patologinių pokyčių nebuvo aptikta, išskyrus saikingą leukocitozė (9,94×10⁹ ląst./l).

Antrą hospitalizacijos dieną atliktoje EEG registruotas neregularus, silpnai moduliuotas, vidutinės amplitudės (~10 Hz) alfa dažnio foninis aktyvumas su išiterpiančiomis vidutinės amplitudės teta dažnio bangomis abipus temporoparietaliai, ryškiai vyraujančiomis kairėje, plintančiomis į kairę kaktos sritį. Hiperventiliacijos mėginių metu patologinių grafoelementų nežymiai gausėjo, o fotostimuliacija papildomo patologinio aktyvumo nesukėlė (1 pav.). Atlikus galvos smegenų MRT, kairiosios kaktinės skilties precentrinio vingio apatinėje dalyje stebėtas T2 hipointensinis židinys, apimantis sustorėjusią, edemišką žievę ir požievį su neisreišksta perifokaline edema. Po intraveninio kontrastavimo pakitusioje zonoje išryškėjo keletas nedidelų kontrastinė medžiagą kaupiančių židinių. Įtartas glialinis navikas (2 pav.).

Trečios hospitalizacijos dienos rytmą sutriko kalba – stebėta disfazija. Bendri krauko, CRB ir eritrocitų nusėdimo greičio rodikliai atitiko normą. Skubiai atliktoje GSKT su intraveniniu kontrastavimu naujų galvos smegenų pokyčių nenustatyta (3 pav.).

Konsultavęs neurochirurgas rekomendavo atlikti galvos smegenų MRT su spektroskopija ir traktografija, o iki tyrimų pacientui skirti gydymą deksametazonu po 8 mg 2 kartus per parą ir manitolio infuziją (0,5 g/kg per parą). Vakare pasikartojo židininis motorinis traukulių prieplulis, kurio metu trūkčiojo apatinis žandikaulis, ligonis negalėjo nuryti seilių. Suvokimas epizodo metu nesutriko, prieplulis baigėsi savaimė per keletą minučių. Pakartota EEG su papildomomis kognityvinėmis užduotimis. Jos metu registruotas patologinis teta dažnio aktyvumas abiejuose pusrutuliuose, be aiškesnės tarppusrutulinės asimetrijos, kartais ryškesnis kairėje, kartais – dešinėje, priekinėse arba užpakalinėse srityse ir delta dažnio bangos kairėje frontotemporalinėje srityje (4 pav.). Reakcija į užsimerkimą buvo simetriška, fiziologinė. Reakcija į hiperventiliaciją ryškiai bioelektrinio aktyvumo (BEA) kreivės nekeitė. Hiperventiliacija, intermituojanti fotostimuliacija papildomo



2 pav. Galvos smegenų MRT.

A – Hiperintensinė patologinė zona T2 TSE; B – T2 FLAIR sekose kairėje kaktinėje skiltyje precentrinio vingio apatinėje, operkuliniėje dalyse (rodyklės); C – pakitusi hipointensinė zona T1 sagitalinėje plokštumoje (rodyklė); D – T1 vaizduose po kontrastavimo išryškėjė keli nedideli kontrastinę medžiagą kaupiantys interpalai (lenktos rodyklės).

aktyvumo nesukėlė. Kognityvinį testų metu BEA „susinormalizavo“ – išnyko dezorganizacija, regiszruotas alfa ir beta aktyvumas, kurio fone aiškiai išsiskyrė patologinis lokalus létas ir epilepsiforminis aktyvumas kairėje frontotemporalinėje srityje be plitimo į kitas sritis (5 pav.). Lygiant su ankstesniu tyrimu, „dinamika – neigama, rodanti proceso progresavimą, kuris yra „funkciniu“ pobūdžio – kognityviniai testai praeito tyrimo metu nebuvvo atliekami, jų metu pagerėja foninis aktyvumas ir išryškėja lokalus patologinis aktyvumas kairėje frontotemporalinėje srityje“. Po šios EEG analizės buvo nutarta atlikti juosmeninę punkciją ir ištirti smegenų skystį.

Septintą ligos dieną, atlikus juosmeninę punkciją, gautas skaidrus likvoras su saikingu leukocitu (12 ląstelių/ μ l, vyraujant mononuklearams (81,5 %)), gliukozės (4,6 mmol/l) kiekio padidėjimu, baltymo koncentracija normali (0,3 g/l). Laimo boreliozės IgM antikūnų imunofermentinis tyrimas buvo teigiamas, tačiau, papildomai atlikus imunoblotą, antikūnų buvimas įvertintas kaip kryžminė reakcija. ŽIV ir sifilio tyrimai buvo neigiami. Pakartojus galvos smegenų MRT, nustatyta, kad nežymiai padidėjo patologinis židinys kairėje kaktinėje skiltyje, apimanantis žievę ir požievį, atsirado linijinis kraštinis kaupimas žievėje. Magnetinio rezonanso spektroskopijos (MRS) re-



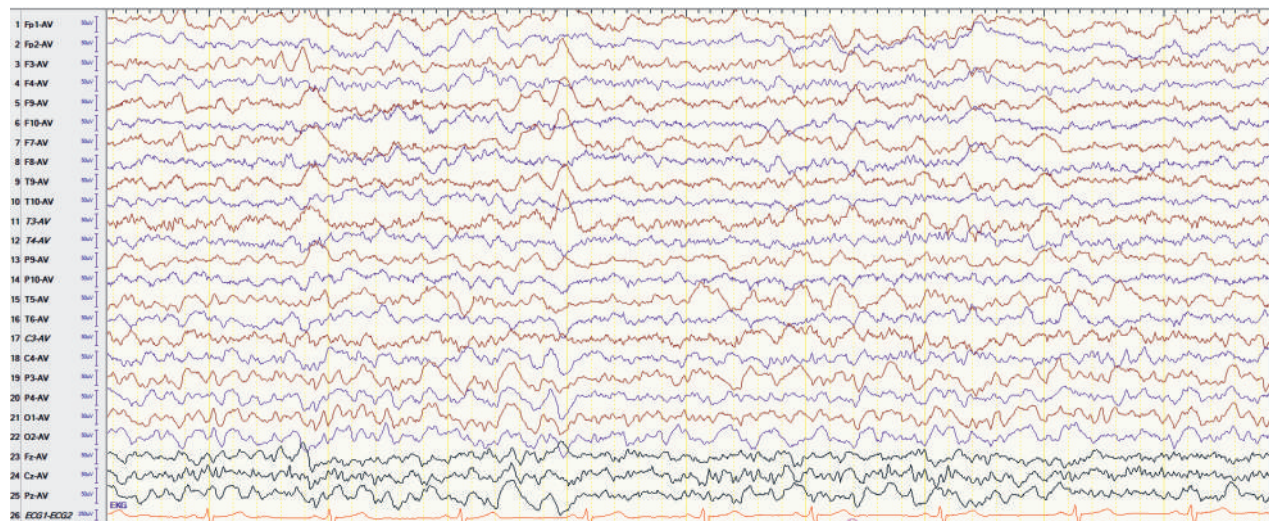
konstrukcijose ir grafikuose buvo matyti išprastinis N-acetilaspartato (NAA), cholino (Cho) ir kreatino (Cr) koncentracijų santykis, atitinkamas dešiniojo pusrutulio simetriškai sričiai. Perfuzijos sekoje pakitusioje srityje hiperperfuzijos požymį nestebėta, CBV rodikliai, lyginant su kontralateraline puse, – panašūs. Išvada – požymiu, būdingu navikui, nematyti (6 pav.).

Pakartotinio aptarimo su neurochirurgais metu nuspręsta, kad naviko diagnozė nepasitvirtino ir chirurginis gydymas nereikalingas, skirtas gydymas manitolio infuzija (15 % 250 ml) į veną ir natrio valproato tabletėmis (250 mg 1 kartą per parą).

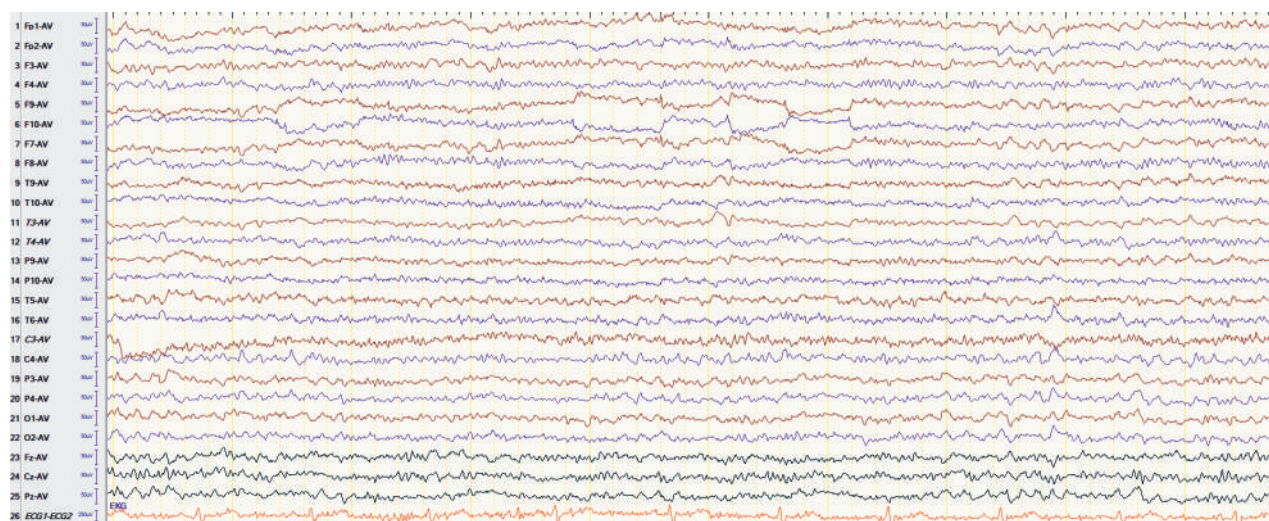
Visiškai regresavus disfazijai, nesikartojant traukulių priepluoliams ir pagerėjus bendrai būklei, vienuoliktą hospitalizacijos dieną ligonis išrašytas į namus.

3 pav. Galvos smegenų KT.

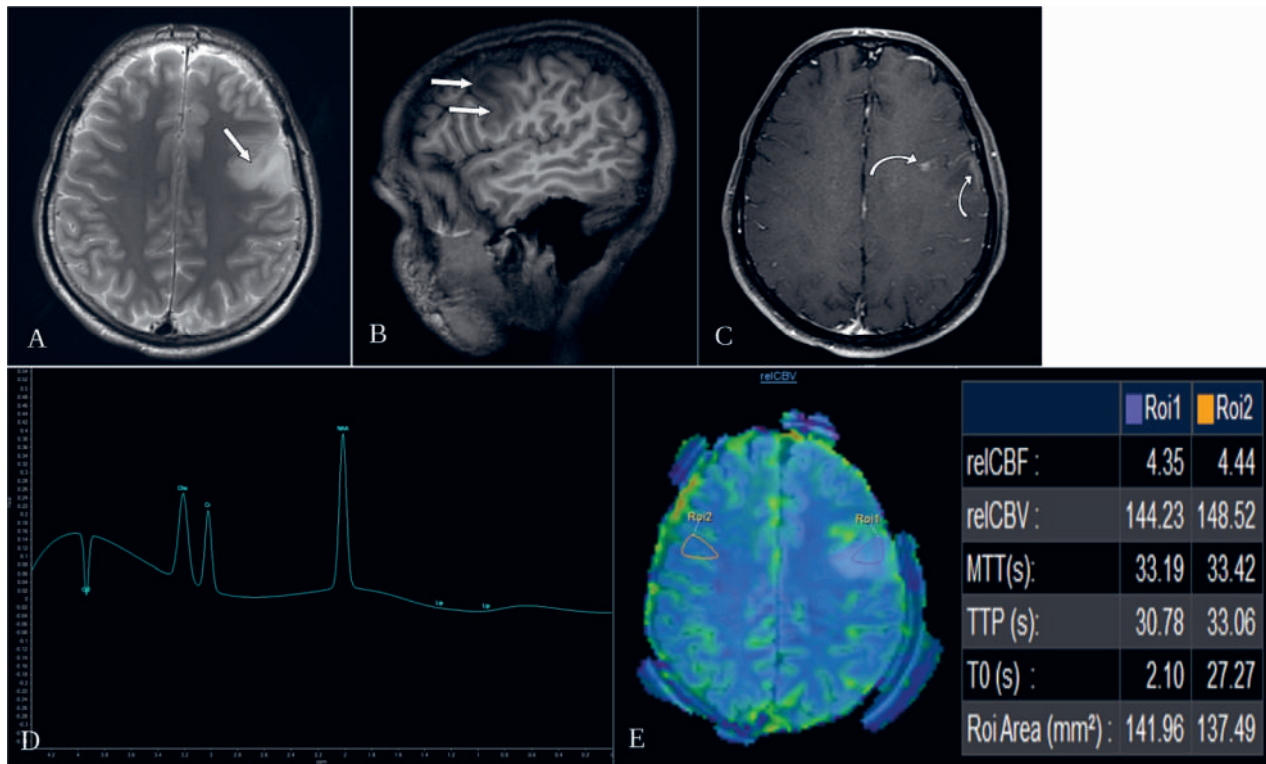
Kairėje kaktinėje skiltyje sumažėjusio tankio zona (rodyklė) išliko panaši, lyginant su anksciau atliktu MRT tyrimu, nauju pakitimui, pakraujavimo nebuvo stebėta.



4 pav. EEG: patologinis lėtas aktyvumas kairiajame pusrutulyje



5 pav. EEG kognityvinių užduočių metu: patologinis lėtas aktyvumas neregistruojamas

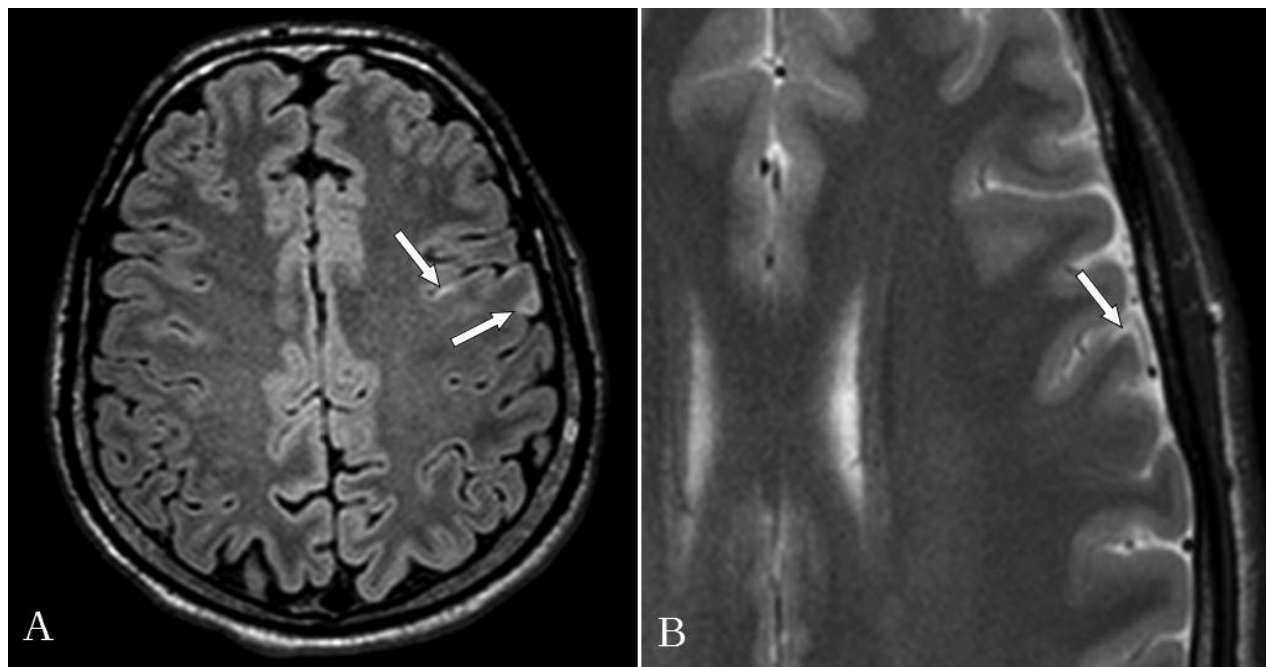


6 pav. Galvos smegenų MRT šeštą hospitalizacijos dieną.

A – T2 TSE ir B – T1 vaizduose matoma, kad pakitimų apimtis nežymiai platesnė (rodyklės); C – pokontrastiniuose T1 vaizduose dinamikoje pasikeitęs kontrastinės medžiagos kaupimas, atsirado naujų kaupiančių sričių žievėje (lenktos rodyklės); D – MR spektroskopijos duomenimis, NAA/Cr santykis – 2,06, Cho/NAA – 0,77, atitinkantys normalius dydžius; E – perfuzijos sekoje CBV rodikliai, lyginant su kontralateraline puse, yra panašūs.

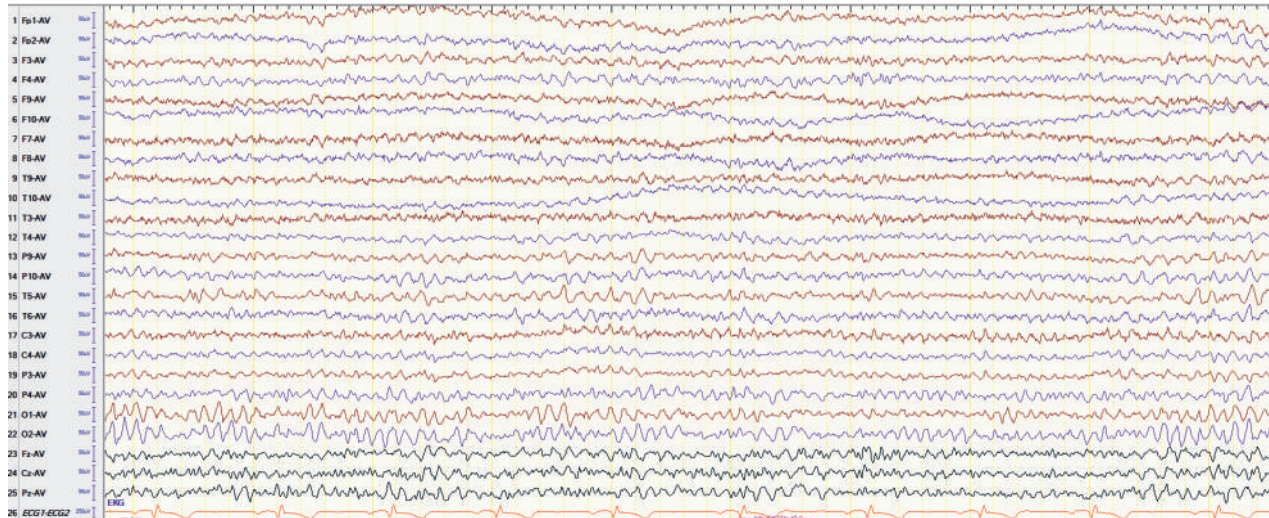
Po 6 mėnesių atlikto MRT vaizduose buvo stebima ryškiai teigiamą dinamiką: židinys kairiojoje kaktinėje skiltyje žymiai sumažėjo, išnyko perifokalinė edema, buvusių pakitimų srityje liko nedideli pakitimai, kur žievė plonesnė, T2 hiperintensinio signalo (7 pav.).

Praėjus beveik dvejiems metams nuo ligos pasireiškimo, ligonio neurologinė būklė išliko be patologinių pokyčių, o atlikus EEG patologinis aktyvumas foninėje EEG ir provokacinių mėginių metu neregistruotas (8 pav.).



7 pav. Galvos smegenų MRT po 6 mėnesių.

A – T2 FLAIR ir B – T2 TSE vaizduose buvusių pakitimų zonoje nedideli lokalūs glioziniai pakitimai žievėje (rodyklės)



8 pav. EEG po 6 mėnesių. Norma

EEG POKYČIAI INFЕKCIINIO IR AUTOIMUNINIO ENCEFALITO ATVEJU

Žinomi vos keli infekciniai CNS susirgimai, kurių metu registruojami sukėlėjui būdingi EEG pokyčiai: *Herpes simplex-1* sukeltas encefalitas, tymų viruso sukeltas poūmis sklerozuojantis panencefalitas (angl. *subacute sclerosing panencephalitis*, SSPE) ir Creutzfeldt-Jakob liga [9].

HSV-1 yra dažniausias infekcinio encefalito sukėlėjas [10, 11]. Literatūroje aprašytas HSV-1 encefalitui būdingų EEG pokyčių specifišumas skiriasi. Dažniausiai HSV-1 encefalito EEG pokyčiai yra židininis delta aktyvumas ir vienpusiai ar abipusiai periodiniai epilepsiforminiai iškrūviai (angl. *periodic epileptiform discharge*, PED) temporalinėse skiltyse [9, 12, 13]. PED atsiranda 2–15 parą ir neretai gali būti aptinkami anksčiau nei HSV-1 encefalitui būdingi struktūriniai pokyčiai neurovizualiniuose tyrimuose [14]. Nors abipusiai epilepsiforminiai iškrūviai HSV-1 encefalito metu yra susiję su blogesnėmis neurologinėmis išeitimis, patikimų literatūros duomenų, susijusių su prognostiniais EEG pokyčiais, trūksta. Teigiama, kad ankstyvas gydymas antivirusiniais vaistais sumažina PED išsvystymo tikimybę [9, 15].

Sergant ne-HSV sukeltu infekciniu meningoencefalitu, pokyčiai EEG yra nespecifiški: pradžioje lėtėja alfa bangų ritmas, o pažeidimui progresuojant, atsiranda teta ir delta aktyvumas [9]. Nors, įtariant encefalitą, Tarptautinio encefalito konsorciumo gairėse (2 lentelė) rekomenduojama atlikti EEG, diagnostinė ir prognostinė tyrimo vertė, trūksiant patikimų mokslinių tyrimų, išlieka ne iki galo aiški [14, 16]. Remiantis 2015 m. atliku 76 pacientų imties tyrimu, stebimi EEG pokyčiai statistiškai reikšmingai skyrėsi tarp HSV ir ne-HSV sukelto infekcino encefalito: PED ir sulėtėjimo židinių buvimas frontotemporalinėse ir pakaušinėje srityse buvo kur kas dažniau susijęs su HSE [14].

SSPE yra mirtinas tymų viruso sukeltas CNS uždegimas, kuris išsvysto vidutiniškai praėjus 4–8 metams nuo pirminės tymų infekcijos [17]. Klasikiniai SSPE pokyčiai EEG yra abipusiai, simetriški periodiniai smailių-lėtų ban-

gų kompleksai, kurių periodiškumas svyruoja nuo kelių iki keliasdešimt sekundžių, tačiau dažniausiai pasikartoja kas 4–10 sekundžių. Dažnai kiekvieną jų kliniškai lydi miokloniniai raumenų trūkčiojimai [11]. Ligai progresuojant, intervalas tarp kompleksų mažėja, kol galiausiai visai išnyksta – tai glaudžiai koreliuoja su klinikiniu būklės bloğejimu [9, 18, 19]. Ligos pradžioje tarp kompleksų registrojanamas normalus foninis smegenų aktyvumas, kuris lėtėja progresuojant SSPE [9]. Aprašyti klasikiniai EEG pakitimai labiau būdingi vaikams ir paaugliams, bet jei iki susergant SSPE vaikas turėjo neurologinį pažeidimą (pirmaisiais gyvenimo metais persirgo nespecifiniu virusiniu encefalitu, turėjo išgimtą neurosensorinį kurtumą, diagnozuotą sunkų mokymosi sutrikimą), be išrastų SSPE pokyčių, EEG gali būti registrojami ir židininiai epilepsiforminiai iškrūviai bei stebimi klinikiniai židininiai priepuoliai

2 lentelė. Infekcinės kilmės encefalito diagnostiniai kriterijai

Didysis kriterijus (būtinis)

- 1) Protinės būklės sutrikimas, kuris pasireiškia sumažėjusiui ar pakitusiu sąmonės lygiu, mieguistumu ar asmenybės pokyčiais, ir trunka 24 valandas ar ilgiau, nesant alternatyvioms encefalitui priežasties.

Mažieji kriterijai (2 kriterijai reikalingi galimam encefalitui (angl. *possible encephalitis*), 3 kriterijai reikalingi tikėtinam (angl. *probable encephalitis*) ar patvirtintam encefalitui)

- 1) Karščiavimas 38 °C, pasireiškės per 72 valandas prieš (po) ligos pasireiškimą.
- 2) Generalizuoti arba židininiai epilepsijos priepuoliai, kurie negali būti priskiriami prieš tai buvusiam epilepsiniam sindromui.
- 3) Naujai pasireiškę židininiai neurologiniai simptomai.
- 4) Leukocitų skaičius likvore – $5/\text{mm}^3$.
- 5) Encefalitui būdingi naujai atsirađę smegenų parenchimos pokyčiai kompiuterinės tomografijos ar magnetinio rezonanso tomografijos vaizduose.
- 6) Pakitimai elektroencefalogramoje, leidžiantys įtarti encefalitą ir neturintys kito paaiškinimo.

[19]. Suaugusieji SSPE serga rečiau, o pakitimai EEG taip pat dažniau netipiški (registruojamas lėtas smegenų aktyvumas be stereotipinių kompleksų) [9].

Creutzfeldt-Jakob liga (CJD) – kita mirtina degeneracinių smegenų liga, sukeliama patologinio balytimo prono. Ji priklauso spongiforminės encefalopatijos ligų grupei. Išskiriamos keturios CJD formos: sporadinė, jatrogeninė, šeiminė ir variantinė (angl. *variant*). Sporadinė CJD yra dažniausia ligos forma, sudaranti 85 % visų ligos atvejų (1 atvejis/1 mln. gyventojų), galimai kylanti dėl spontaninės balytymo prionų koduojančio geno mutacijos ar balytimo struktūros pokyčio [20]. Sporadinės CJD metu 60–70 % EEG registruojami itin būdingi periodiniai trifaziniai (rečiau bifaziniai ar mišrūs) smailių bangų kompleksai (angl. *periodic sharp wave complexes*, PSWC), dažniausiai būdravimo metu. Jie yra linkę išnykti ligoniu iiegant ir gali būti maskuojami benzodiazepinų, kurie neretai skiriama CJD sukeltiems traukuliams slopinti. PSWC nekontinuoja su CJD klinikai būdingomis mioklonijomis [20, 21]. EEG pokyčiai jatrogeninės CJD atveju yra panašūs į sporadinės CJD, tačiau išvairuoja nuo lokalizuoto lėto smegenų aktyvumo infekcijos vietoje iki tipiškų PSWC. Sergant šeimine CJD forma, būdingų PSWC užrašymo dažnis priklauso nuo mutacijos vietas balytimo prono gene ir siekia apie 10 %, o variantinės CJD metu PSWC neaptikimas EEG yra laikomas vienu iš diagnostinių kriterijų [21].

Be infekcinės kilmės encefalitų, verta paminėti ir autoimuninį encefalitą, kurį sukelia antikūnai prieš N-metil-D-aspartato receptorius (anti-NMDAR). Literatūros duomenimis, anti-NMDAR encefalitas sudaro 4 % (2 atvejai/1 mln. gyventojų), o autoimuniniai encefalitai bendrai – apie 20–30 % visų encefalito atvejų [22]. EEG atlieka svarbūs vaidmenį, diferencijuojant pirminę psichiatrinę patologiją nuo autoimuninio encefalito sukelto elgesio sutrikimų. Pakitimai EEG anti-NMDAR encefalito metu pasireiškia 90–100 % ligonių, dažniausiai (60–83 %) registruojamas nespecifinis encefalopatių būdingas lėtas dezorganizuotas smegenų aktyvumas, iki 50 % aptinkamas epilepsinis aktyvumas [22–24]. 30–50 % suaugusių ligonių EEG registruojami anti-NMDAR encefalitui specifiški „delta šepetėliai“ (angl. *extreme delta brush*) – ritmiškas 1–3 Hz delta aktyvumas, persidengiantis su 20–30 Hz beta aktyvumu [25, 26]. Šio pokyčio užrašymas EEG asocijuojamas su prastesne prognoze ir ilgesniu hospitalizacijos laiku [27]. Visgi, kai kurie autorai kritikuoja „delta šepetėlių“ dėl studijų, įvertinančių šio fenomeno jautrumą, trūkumo ir rekomenduoja anti-NMDAR encefalito diagnostikoje naudoti beta ir delta santykį (angl. *beta/delta power ratio*, BDPR), kurio padidėjimas yra dažnesnis ir mažiau priklausomas nuo ligos stadijos [23, 28].

KANAPIŲ VARTOJIMO POVEIKIS IMUNINEI SISTEMAI IR EPILEPSIJOS PRIEPUOLIAMS

Šiame straipsnyje apžvelgti galimą kanapių poveikį paskatinio ligonio anamnezėje nurodyta 10 metų kanapių vartojo trukmė. Literatūroje plačiausiai aprašomas pagrindinio

biologiškai aktyvaus kanapėse randamo junginio, delta-9-tetrahidrokanabinolio (THC), imunomoduliacinis (daugiausia imunosupresinis) poveikis, prisijungiant prie 2 tipo kanabinoidų receptorių (CB2R), išsidėsčiusių imuninių ląstelių paviršiuje [29]. Eksperimentiniuose tyrimuose su pelėmis ir jūrų kiaulytėmis išrodytas nuo dozės priklausomas THC imunosupresinis poveikis prieš virusų, bakterijų ir pirmuonių sukeltas infekcijas [30, 31]. HSV-2 neutralizuojančių antikūnų kiekio sumažėjimas pelėse, paveiktose THC, lyginant su kontrolinė grupe, prilygsta ciklofosfamido poveikiui [30], mikroglujos reakcija į gramneigiamų bakterijų lipopolisacharidus, gaminant prouždegiminius citokinus (IL-1, IL-6, TNF alfa), yra silpnė [32], o mirštamumas nuo oportunistinių pirmuonių sukeltos CNS infekcijos – didesnis [31]. Nepaisant to, literatūroje trūksta informacijos apie imunosupresinį kanapių poveikį žmonėms, o tiesioginių įrodymų, kad kanapių vartojimas didina neuroinfekcijų dažnį, šiuo metu nėra.

Nemažiau prieštaringesas išvadas pateikia ir tyrimai, analizuojantys kanapių poveikį epilepsiniams traukuliams. Nors gyvūnų modeliai rodo galimą THC traukulius skatinantį poveikį [33] ir nuo dozės priklausomą THC neutraktiškumą smegenų dalims, kuriose daugiausia 1 tipo kanabinoidų receptorių (CB1R; hipokampe, migdoliniane kūne, pertvaroje, galvos smegenų žievėje), tačiau tyrimų, patvirtinančių tokį kanapių poveikį žmogaus smegenims, rezultatai yra nevienareikšmiai [34]. Kiek aiškesnius duomenis pateikia sintetinių kanabinoidų, keliasdešimt kartų stipriaus veikiančių CB1/CB2 receptorius, tyrimai. Tait ir kt. sisteminėje apžvalgoje nurodo, kad toninių-kloninių traukulių dažnis tarp asmenų, vartoju sių sintetinius kanabinoidus ir patekusius į ligoninę, svyruboja nuo 3,8 iki 15 % ir yra didesnis jaunesnio amžiaus pacientų grupėje [35]. Gounder ir kt. apraše 30 pacientų, kuriuos per 24 val. nuo sintetinių kanabinoidų vartojo ištiko traukulių priepluoliai. 80 % asmenų jie pasireiškė per 12 valandų, 90 % atvejų sudarė toniniai-kloniniai priepluoliai, 10 % – židiniai priepluoliai su sąmonės sutrikimu. Iš 26 pacientų, kuriems buvo atlirkas neurovizualinis tyrimas, trims rastas epileptogeninis židinys galvos smegenyse. Aštuoniems stebėti pakitimai EEG. Pacientams, kurie prieš sintetinių kanabinoidų vartojo nebuvo patyrę priepluolio, neturėjo rizikos veiksnį ir po priepluolio nutraukė jų vartojojimą, traukulių pasikartojimo dažnis siekė 8 %. Šis dažnis, straipsnio autorių, prilyginamas amfetamino sukeltam traukulių pasikartojimo dažniui (7 %) [36].

PANAŠŪS ATVEJAI LITERATŪROJE

Literatūroje galima rasti vos kelis aprašytus atvejus, kai suaugusiam imunokompetentiškam pacientui encefalitas imitavo glialinį CNS naviką. T. Peeraully ir kt. apraše 54 metų moterį, į priėmimo skyrių atvykusią su poūmiai išsivysčiusių sąmonės ir kalbos sutrikimu, galvos skausmu ir 15 kg svorio netekimu per vienerius metus. Atlikus GSKT ir MRT, buvo rasti patologiniai pokyčiai kaireje temporalinėje ir frontalinėje skiltyse, panašūs į infiltruo-

jančią gliomą. Įtarimą sustiprino MRT spektroskopijos (aptiktas Cho koncentracijos padidėjimas) ir perfuzijos (aptiktos fragmentiškos hipoperfuzijos zonas) tyrimai. Dėl galimos smegenų strigimo rizikos pasirinkta atliki kraniotomiją ir smegenų biopsiją, kuri patvirtino HSV-1 encefalito diagnozę [37].

D. Panagopoulos ir kt. aprašė kitą atvejį, kai 5 metų pacientei su silpnai išreikšta ataksija, nistagmu ir galūnių tremoru dėl priešlaikinės telarchės atlirkus galvos smegenų MRT buvo atsitiptinai rastas 23 mm dydžio židinys dešiniajame smegenelių pusrutulyje ir nežymūs kairės temporalinės srities pokyčiai T2 sekoje. Minimu atveju buvo atlirkas MRT spektroskopijos tyrimas, kuriame aptikti žemo laipsnio gliomas įtarimą sustiprinantys pokyčiai: Cho padidėjimas, NAA sumažėjimas, NAA/Cr santykis 0,89, Cho/Cr - 1,41 ir Cho/NAA - 1,58. Po kelių dienų nutarta šalinti smegenėlėse esantį darinį, tačiau intraoperacinės biopsijos mėginiuose navikui būdingų pokyčių nerasta. Iškart po operacijos atlikoje GSKT aptiktas gerau apribotas židinys tame pačiame smegenelių pusrutulyje, todėl dėl liekamojo naviko įtarimo operacija ir biopsija buvo pakartotos (histologinė išvada nepakito). Po operacijos dėl išsvyciusių toninių-kloninių traukulių užrašyta EEG, stebėtas lėtas dezorganizuotas smegenų aktyvumas. Pacientei febriliai sukarščiavus, įtarta neuroinfekcija ir, atlirkus likvoro tyrimus, patvirtinta HSV-1 encefalito diagnozė [38].

APIBENDRINIMAS

Mūsų aprašomu atveju EEG tapo svarbiausia diagnostinė priemone, nukreipusia teisingos encefalito diagnozės link. Atlikoje galvos smegenų MRT stebėti pokyčiai buvo būdingi gliomai su galima piktybine transformacija. Visgi, užrašius EEG, buvo pastebėta neatitiktis tarp MRT vaizduose matomo pažeidimo lokalizacijos ir radinių EEG. Ši neatitiktis sukėlė abejonių dėl naviko diagnozės. MRT spektroskopijoje stebėta įprasta NAA, Cho bei Cr koncentracija ir likvore rastas leukocitų skaičiaus padidėjimas, dominuojant monomorfonuklearams, taip pat parėmė encefalito diagnozę. Nors encefalito sukėlėjas mūsų aprašomu atveju nebuvo nustatytas, HSV-1 encefalito diagnozė, kaip ir CJD ar SSPE, šiuo atveju yra mažai tikėtina dėl netipiskų MRT ir EEG pokyčių bei gerybinės ligos eigos. Vis dėlto, galbūt atlirkas papildomas likvoro PGR tyrimas būtų padėjęs nustatyti ligos sukėlėją.

IŠVADOS

EEG yra plačiai prieinamas ir svarbus diagnostinis tyrimas, esant neaiškiai klinikinei situacijai, diferencijuojant pirmą kartą įvykusią epilepsijos priepuolių priežastį. Esant histologiškai nepatvirtintai galvos smegenų naviko diagnozei, EEG gali tapti svarbiausiu diagnostiniu metodu, padedančiu įtarti atipinį encefalitą. Pakartotinio EEG tyrimo analizė padeda vertinti ligos dinamiką ir numatyti išeitį.

Literatūra

- Samudra N, Zacharias T, Plitt A, et al. Seizures in glioma patients: an overview of incidence, etiology, and therapies. *J Neurol Sci* 2019; 404: 80–5. <https://doi.org/10.1016/j.jns.2019.07.026>
- Englot DJ, Chang EF, Vecht CJ. Epilepsy and brain tumors. *Handb Clin Neurol* 2016; 134: 267–85. <https://doi.org/10.1016/B978-0-12-802997-8.00016-5>
- Zhao L, Zhou M, Wang B, et al. Clinical characteristics and outcome of clinically diagnosed viral encephalitis in southwest China. *Neurol Sci* 2015; 36: 2191–7. <https://doi.org/10.1007/s10072-015-2333-8>
- Misra UK, Kalita J. Seizures in encephalitis: predictors and outcome. *Seizure* 2009; 18: 583–7. <https://doi.org/10.1016/j.seizure.2009.06.003>
- Hussein AS, Shafran SD. Acute bacterial meningitis in adults: a 12-year review. *Medicine (Baltimore)* 2000; 79: 360–8. <https://doi.org/10.1097/00005792-200011000-00002>
- Durand ML, Calderwood SB, Weber DJ, et al. Acute bacterial meningitis in adults – a review of 493 episodes. *N Engl J Med* 1993; 328: 21–8. <https://doi.org/10.1056/NEJM199301073280104>
- Misra UK, Tan CT, Kalita J. Viral encephalitis and epilepsy. *Epilepsia* 2008; 49: 13–8. <https://doi.org/10.1111/j.1528-1167.2008.01751.x>
- Sili U, Kaya A, Mert A, et al. Herpes simplex virus encephalitis: clinical manifestations, diagnosis and outcome in 106 adult patients. *J Clin Virol* 2014; 60: 112–8. <https://doi.org/10.1016/j.jcv.2014.03.010>
- Smith SJM. EEG in neurological conditions other than epilepsy: when does it help, what does it add? *J Neurol Neurosurg Psychiatry* 2005; 76(Suppl 2): ii8–12. <https://doi.org/10.1136/jnnp.2005.068486>
- George BP, Schneider EB, Venkatesan A. Encephalitis hospitalization rates and inpatient mortality in the United States, 2000–2010. *PLoS One* 2014; 9: e104169. <https://doi.org/10.1371/journal.pone.0104169>
- Mailles A, Stahl J-P. Infectious encephalitis in France in 2007: a national prospective study. *Clin Infect Dis* 2009; 49: 1838–47. <https://doi.org/10.1086/648419>
- Lai CW, Gragasin ME. Electroencephalography in herpes simplex encephalitis. *J Clin Neurophysiol* 1988; 5: 87–104. <https://doi.org/10.1097/00004691-198801000-00003>
- Smith JB, Westmoreland BF. A distinctive clinical EEG profile in herpes simplex encephalitis. *Mayo Clin Proc* 1975; 50: 469–74.
- Sutter R, Kaplan PW, Cervenka MC, et al. Electroencephalography for diagnosis and prognosis of acute encephalitis. *Clin Neurophysiol* 2015; 126: 1524–31. <https://doi.org/10.1016/j.clinph.2014.11.006>
- Gavrilovic A, Drakulic SM, Matic TB, et al. EEG abnormalities as diagnostic and prognostic factor for encephalitis. *Serbian J Exp Clin Res* 2016; 17: 225–9. <https://doi.org/10.1515/sjerc-2016-0018>
- Venkatesan A, Tunkel AR, Bloch KC, et al. Case definitions, diagnostic algorithms, and priorities in encephalitis: consensus statement of the international encephalitis consortium. *Clin Infect Dis* 2013; 57: 1114–28. <https://doi.org/10.1093/cid/cit458>
- Tunkel AR, Glaser CA, Bloch KC, et al. The management of encephalitis: clinical practice guidelines by the Infectious Diseases Society of America. *Clin Infect Dis* 2008; 47: 303–27. <https://doi.org/10.1086/589747>

18. Buchanan R, Bonthius DJ. Measles virus and associated central nervous system sequelae. *Semin Pediatr Neurol* 2012; 19(3): 107–14. <https://doi.org/10.1016/j.spen.2012.02.003>
19. Gadoth N. Subacute sclerosing panencephalitis (SSPE) the story of a vanishing disease. *Brain Dev* 2012; 34(9): 705–11. <https://doi.org/10.1016/j.braindev.2011.12.008>
20. Manix M, Kalakoti P, Henry M, et al. Creutzfeldt-Jakob disease: updated diagnostic criteria, treatment algorithm, and the utility of brain biopsy. *Neurosurg Focus* 2015; 39: 2076–84. <https://doi.org/10.3171/2015.8.FOCUS15328>
21. Wieser HG, Schindler K, Zumsteg D. EEG in Creutzfeldt-Jakob disease. *Clin Neurophysiol* 2006; 117: 935–51. <https://doi.org/10.1016/j.clinph.2005.12.007>
22. Venkatesan A, Michael BD, Probasco JC, et al. Acute encephalitis in immunocompetent adults. *Lancet* 2019; 393: 702–16. [https://doi.org/10.1016/S0140-6736\(18\)32526-1](https://doi.org/10.1016/S0140-6736(18)32526-1)
23. Freund B, Ritzl EK. A review of EEG in anti-NMDA receptor encephalitis. *J Neuroimmunol* 2019; 332: 64–8. <https://doi.org/10.1016/j.jneuroim.2019.03.010>
24. Gillinder L, Warren N, Hartel G, et al. EEG findings in NMDA encephalitis – a systematic review. *Seizure* 2019; 65: 20–4. <https://doi.org/10.1016/j.seizure.2018.12.015>
25. Schmitt SE, Pargeon K, Frechette ES, et al. Extreme delta brush. A unique EEG pattern in adults with anti-NMDA receptor encephalitis. *Neurology* 2012; 79(11): 1094–100. <https://doi.org/10.1212/WNL.0b013e3182698cd8>
26. Huang Q, Wu Y, Qin R, et al. Clinical characteristics and outcomes between children and adults with anti-N-Methyl-d-Aspartate receptor encephalitis. *J Neurol* 2016; 263: 2446–55. <https://doi.org/10.1007/s00415-016-8282-1>
27. Warren N, Siskind D, O’Gorman C. Refining the psychiatric syndrome of anti-N-methyl-d-aspartate receptor encephalitis. *Acta Psychiatr Scand* 2018; 138: 401–8. <https://doi.org/10.1111/acps.12941>
28. Foff EP, Taplinger D, Suski J, et al. EEG findings may serve as a potential biomarker for anti-NMDA receptor encephalitis. *Clin EEG Neurosci* 2017; 48: 48–53. <https://doi.org/10.1177/1550059416642660>
29. Cabral GA, Jamerson M. Marijuana use and brain immune mechanisms. *Int Rev Neurobiol* 2014; 118: 199–230. <https://doi.org/10.1016/B978-0-12-801284-0.00008-7>
30. Cabral GA, Dove Pettit DA. Drugs and immunity: cannabinoids and their role in decreased resistance to infectious disease. *J Neuroimmunol* 1998; 83: 116–23. [https://doi.org/10.1016/S0165-5728\(97\)00227-0](https://doi.org/10.1016/S0165-5728(97)00227-0)
31. Cabral GA, Raborn ES, Griffin L, et al. CB 2 receptors in the brain: role in central immune function. *Br J Pharmacol* 2008; 153: 240–51. <https://doi.org/10.1038/sj.bjp.0707584>
32. Puffenbarger RA, Boothe AC, Cabral GA. Cannabinoids inhibit LPS-inducible cytokine mRNA expression in rat microglial cells. *Glia* 2000; 29: 58–69. [https://doi.org/10.1002/\(SICI\)1098-1136\(20000101\)29:1<58::AID-GLIA6>3.0.CO;2-W](https://doi.org/10.1002/(SICI)1098-1136(20000101)29:1<58::AID-GLIA6>3.0.CO;2-W)
33. Devinsky O, Cilio MR, Cross H, et al. Cannabidiol: pharmacology and potential therapeutic role in epilepsy and other neuropsychiatric disorders. *Epilepsia* 2014; 55: 791–802. <https://doi.org/10.1111/epi.12631>
34. Lorenzetti V, Lubman DI, Whittle S, et al. Structural MRI findings in long-term cannabis users: what do we know. *Subst Use Misuse* 2010; 45: 1787–808. <https://doi.org/10.3109/10826084.2010.482443>
35. Tait RJ, Caldicott D, Mountain D, et al. A systematic review of adverse events arising from the use of synthetic cannabinoids and their associated treatment. *Clin Toxicol* 2016; 54: 1–13. <https://doi.org/10.3109/15563650.2015.1110590>
36. Gounder K, Dunuwille J, Dunne J, et al. The other side of the leaf: Seizures associated with synthetic cannabinoid use. *Epilepsy Behav* 2020; 104(Pt A): 106901. <https://doi.org/10.1016/j.yebeh.2020.106901>
37. Peeraully T, Landolfi JC. Herpes encephalitis masquerading as tumor. *ISRN Neurol* 2011; 2011: 1–4. <https://doi.org/10.5402/2011/474672>
38. Panagopoulos D, Themistocleous M, Apostolopoulou K, et al. Herpes simplex encephalitis initially erroneously diagnosed as glioma of the cerebellum: case report and literature review. *World Neurosurg* 2019; 129: 421–7. <https://doi.org/10.1016/j.wneu.2019.06.158>

**M. Jokubaitis, R. Mameniškienė, A. Barkauskienė,
J. Valaičienė**

VALUE OF EEG IN THE DIFFERENTIATION OF GLIAL TUMOR AND ENCEPHALITIS: A CASE REPORT AND REVIEW OF LITERATURE

Summary

We report a case of a 24-year-old acute encephalitis patient presenting with epileptic seizures. Glial tumor was suspected due to initial changes seen on magnetic resonance imaging. The findings of electroencephalography (EEG) were indicative of a functional impairment, therefore additional tests were performed that revealed changes characteristic for inflammation. In this case of histologically unconfirmed diagnosis of brain tumor, EEG became the most significant method for suspecting atypical encephalitis. The article also reviews similar cases described in the literature and EEG changes characteristic of infectious and autoimmune encephalitis.

Keywords: electroencephalography, EEG, neuroinfection, encephalitis, glioma, cannabinoids.

Gauta:
2020 08 19

Priimta spaudai:
2020 09 14